

١٠٢٢٧٨



دانشکده علوم

پایان نامه دکتری در رشته فیزیک (ماده‌ی چگال)

بررسی خواص الکترونی و اپتیکی نقطه‌ی کوانتومی بیضی‌گون با  
پتانسیل محدود

توسط:

قاسم رضایی

استاد راهنما:

دکتر محمود براتی، خواجه‌وی

اطلاعات ثبت شده در کتابخانه  
کتابخانه مرکزی  
شیراز

۱۳۸۷ / ۲ / ۲۳

اسفند ۱۳۸۶

۱۵۲۳۷۸

به نام خدا

بررسی خواص الکترونی و اپتیکی نقطه ی کوانتومی بیضی گون با پتانسیل محدود

به وسیله ی:

قاسم رضایی

پایان نامه

ارائه شده به تحصیلات تکمیلی دانشگاه به عنوان بخشی  
از فعالیت های تحصیلی لازم برای اخذ درجه دکترا

در رشته ی:

فیزیک

از دانشگاه شیراز

شیراز

جمهوری اسلامی ایران

ارزیابی شده توسط کمیته پایان نامه با درجه: عالی

دکتر محمود براتی خواجویی، استاد بخش فیزیک (رئیس کمیته)

دکتر هادی سلامتی، استاد دانشکده فیزیک دانشگاه صنعتی اصفهان

دکتر محمود مرادی، استاد بخش فیزیک

دکتر محمد مهدی گلشن، استادیار بخش فیزیک

دکتر غلامحسین بردبار، دانشیار بخش فیزیک

اسفند ماه ۱۳۸۶

تقدیم بہ

ہمسرا پدر و مادر مہربانم

## سپاسگزاری

خداوند بزرگ و مهربان را شکر می‌گوییم که چون همیشه منت نهاد و با الطاف بی‌پایانش در انجام و به پایان رساندن این رساله مرا یاری نمود.

بر خود واجب می‌دانم که مراتب سپاسگزاری خویش را از تمامی اساتید بزرگوار بخش فیزیک دانشگاه شیراز، که افتخار شاگردی ایشان را داشته‌ام، بیان نمایم. از استاد ارجمند جناب آقای دکتر محمود براتی که هدایت این رساله را به عهده داشتند و با رهنمودهای ارزشمند خود مرا در انجام این رساله یاری کردند تشکر می‌نمایم. از اعضای محترم کمیته‌ی پایان نامه، آقایان دکتر محمود مرادی، دکتر محمد مهدی گلشن، دکتر غلامحسین بردبار و همچنین جناب آقای دکتر هادی سلامتی از دانشگاه صنعتی اصفهان سپاسگزاری می‌نمایم. در پایان از همسر مهربان، پدر و مادر فداکارم که همیشه مدیون آنها هستم، تشکر و سپاسگزاری می‌کنم، امیدوارم که قدردان زحمات این عزیزان باشم.

## چکیده

بررسی خواص الکترونی و اپتیکی نقطه‌ی کوانتومی بیضی‌گون با پتانسیل محدود

به وسیله‌ی:

قاسم رضایی

نقطه‌ی کوانتومی یا ساختار شبه صفر بعدی، یکی از سیستم‌های کوانتومی نیم‌رسانا است که در آن حرکت حامل‌های بار در تمام راستاهای فضایی محدود می‌باشد. این محدودیت فضایی، سبب کوانتیدگی ترازهای انرژی الکترون‌ها در نوار رسانش شده، خصوصیات فیزیکی این سیستم‌های نیم‌رسانا را دگرگون می‌سازد. علاوه بر این، یکی از مهمترین مشخصه‌های نقطه‌های کوانتومی امکان گذار بین زیر نوارها در نوار رسانش و یا ظرفیت بوده و این امر توجه بسیاری از علاقه مندان را در سال‌های اخیر به خود جلب نموده است. بررسی خواص الکترونی و اپتیکی نقطه‌های کوانتومی نه تنها از دیدگاه نظری بلکه به علت کاربرد وسیع آنها در ساخت لیزرهای نیم‌رسانا، قطعات الکترونیکی و اپتوالکترونیکی مورد توجه بوده است.

در این رساله یک نقطه‌ی کوانتومی بیضی‌گون با ارتفاع پتانسیل محدود و خروج از مرکز بسیار کوچک را در نظر گرفته و با استفاده از نظریه‌ی اختلال مستقل از زمان غیر تبهگن ترازهای انرژی الکترون محبوس در نقطه را در غیاب و همچنین در حضور ناخالصی هیدروژنی محاسبه کرده و چگونگی تغییرات ترازهای انرژی و انرژی بستگی ناخالصی را بر حسب شعاع و خروج از مرکز نقطه مورد بررسی قرار می‌دهیم. نتایج به‌دست آمده نشان می‌دهد که، تغییرات انرژی بستگی ناخالصی هیدروژنی نسبت به شعاع نقطه شبیه به نقطه‌ی کوانتومی کروی است. اما انرژی بستگی با ثابت بیضی‌گون رابطه‌ی عکس دارد. این رفتار برای تراز انرژی  $2P$  واضح‌تر می‌باشد. به‌طوری‌که بسته به ابعاد نقطه و ثابت بیضی‌گون انرژی بستگی منفی می‌شود.

پس از آن با به کارگیری فرمول بندی ماتریس چگالی و روش تکرار، مرتبه‌های مختلف پذیرفتاری الکترونیکی را محاسبه کرده و عبارت‌های تحلیلی برای محاسبه‌ی تغییرات ضرایب جذب و شکست خطی، غیر خطی مرتبه‌ی سوم و کل نقطه مربوط به گذار بین زیر نوارها را به‌دست می‌آوریم. در نهایت تأثیر شعاع، خروج از مرکز، ارتفاع پتانسیل دیواره‌ی نقطه و شدت نور فرودی را بر تغییرات ضرایب جذب و شکست مورد مطالعه قرار می‌دهیم. با توجه به نتایج به‌دست آمده درمی‌یابیم که تغییرات ضرایب جذب و شکست قویاً به شدت نور فرودی و پارامترهای ساختار مانند غلظت آلومینیوم، اندازه و شکل نقطه وابسته می‌باشد.

## فهرست مطالب

صفحه	عنوان
۱	فصل اول: مقدمه
۳	۱-۱- چاه کوانتومی
۴	۲-۱- سیم کوانتومی
۵	۳-۱- نقطه‌ی کوانتومی
۱۰	فصل دوم: بررسی اثر پیکر کوانتومی بر ترازهای انرژی و چگالی حالت‌های الکترونی مواد نیم‌رسانا
۱۱	۱-۲- مقدمه
۱۱	۲-۲- ساختار بلوری نیم‌رساناها
۱۲	۱-۲-۲- شبکه‌ی فضایی و ساختار بلوری الماس و کانی سولفید روی
۱۳	۲-۲-۲- تقریب جرم مؤثر
۱۵	۳-۲-۲- مفاهیم مربوط به نوارهای انرژی در نیم‌رسانا
۱۸	۳-۲- چگالی حالت‌های نیم‌رسانای کپه‌ای
۲۰	۴-۲- ترازهای انرژی و چگالی حالت‌های سیستم‌های کوانتومی محدود
۲۰	۱-۴-۲- ساختارهای نا همسان و سیستم‌های کوانتومی محدود
۲۴	۲-۴-۲- ترازهای انرژی و چگالی حالت‌های چاه کوانتومی با سد پتانسیل بی نهایت
۲۷	۳-۴-۲- ترازهای انرژی و چگالی حالت‌های سیم کوانتومی با سد پتانسیل بی نهایت
۲۹	۴-۴-۲- ترازهای انرژی و چگالی حالت‌های نقطه‌ی کوانتومی مکعبی شکل با سد پتانسیل بی نهایت
۳۱	۵-۲- نتیجه گیری

۳۳	فصل سوم: انرژی بستگی ناخالصی هیدروژنی در یک نقطه کوانتومی بیضی گون با پتانسیل محدود
۳۴	۳-۱- مقدمه
۳۴	۳-۲- ترازهای انرژی الکترون آزاد در نقطه‌ی کوانتومی بیضی گون با پتانسیل محدود
۳۴	۳-۲-۱- محاسبه‌ی هامیلتونی در مختصات جدید
۳۷	۳-۲-۲- محاسبه‌ی ترازهای انرژی الکترون محبوس در نقطه‌ی کوانتومی
۳۸	۳-۳- ترازهای انرژی و انرژی بستگی ناخالصی هیدروژنی در نقطه‌ی کوانتومی بیضی گون با پتانسیل محدود
۴۲	۳-۴- محاسبات و نتایج
۴۸	۳-۵- نتیجه گیری
۴۹	فصل چهارم: مطالعه‌ی خواص نوری یک نقطه‌ی کوانتومی بیضی گون با پتانسیل محدود
۵۰	۴-۱- مقدمه
۵۱	۴-۲- تحول زمانی ماتریس چگالی
۵۳	۴-۳- حل معادله‌ی تحول زمانی ماتریس چگالی با استفاده از روش اختلال
۵۶	۴-۴- محاسبه‌ی تغییرات ضرایب جذب و شکست خطی و غیر خطی مرتبه‌ی سوم با استفاده از ماتریس چگالی
۵۶	۴-۴-۱- محاسبه‌ی پذیرفتاری خطی
۵۸	۴-۴-۲- محاسبه‌ی پذیرفتاری غیر خطی مرتبه‌ی دوم
۶۲	۴-۴-۳- محاسبه پذیرفتاری غیر خطی مرتبه‌ی سوم
۶۸	۴-۴-۴- محاسبه‌ی تغییرات ضرایب جذب و شکست نقطه‌ی کوانتومی
۷۰	۴-۵- محاسبات عددی و نتایج
۸۰	۴-۶- نتیجه گیری
۸۲	فصل پنجم: نتیجه گیری و پیشنهادات

فهرست منابع  
چکیده به زبان انگلیسی



## فهرست جدول ها

صفحه	عنوان
۲۲	جدول ۱-۲- پارامترهای مربوط به <i>AlAs</i> و <i>GaAs</i> .
۴۳	جدول ۱-۳- مشخصات فیزیکی نقطه‌ی کوانتومی و محیط اطراف آن.
۸۰	جدول ۱-۴- تاثیر شکل نقطه بر ترازهای انرژی و تغییرات ضریب جذب.

## فهرست شکل ها

صفحه	عنوان
۴	شکل ۱-۱- طرح نمادین چاه کوانتومی $Al_xGa_{1-x}As/GaAs$ و نمایش حرکت الکترون در صفحه‌ی چاه.
۵	شکل ۱-۲- نمایش سیم کوانتومی $Al_xGa_{1-x}As/GaAs$ با سطح مقطع مربعی.
۶	شکل ۱-۳- طرح نقطه‌ی کوانتومی $Al_xGa_{1-x}As/GaAs$ .
۱۳	شکل ۱-۲- الف) کمپلکس چهار وجهی کربن ناشی از اربیتال‌های هیبریدی $sp^2$ ، ب) ساختار الماسی بلورهای کربن، سیلیکان و ژرمانیم، و پ) ساختار بلوری گالیم- آرسناید، که مشابه ساختار الماسی است با این تفاوت که هر اتم با چهار اتم از نوع دیگر احاطه می‌شود.
۱۵	شکل ۲-۲- نمودار نوار ظرفیت و رسانش با گاف نواری مستقیم و غیر مستقیم. نوار رسانش نیم‌رسانای با گاف مستقیم با خط پر و نوار رسانش مربوط به نیم‌رسانای غیر مستقیم با خط چین نمایش داده شده است.
۱۶	شکل ۲-۳- نمودار طرح وار ترازهای انرژی بلور کوانتومی تشکیل شده از اتم‌های چهار ظرفیتی مانند ژرمانیم یا ترکیبات دوتایی مانند گالیم- آرسناید.
۱۷	شکل ۲-۴- نمایش ساختار نواری الف) گالیم- آرسناید و ب) ژرمانیم در دمای اتاق.
۲۰	شکل ۲-۵- چگالی حالت‌های نوار رسانش نیم‌رسانای سه بعدی بر حسب انرژی.
۲۱	شکل ۲-۶- آرایش نواری اتصال ناهمسان نیم‌رساناهای مختلف. الف) نوع I، ب) نوع II و پ) نوع III.
۲۲	شکل ۲-۷- طرح آرایش نواری برای محاسبه‌ی برآمدگی‌ها در نوارهای انرژی.
۲۶	شکل ۲-۸- چگالی حالت‌های دو بعدی برای چاه کوانتومی $GaAs$ با ضخامت بسیار کم و سد پتانسیل بی نهایت بلند.
۲۷	شکل ۲-۹- سیم کوانتومی با سطح مقطع مستطیلی و سد پتانسیل بی نهایت.
۲۹	شکل ۲-۱۰- چگالی حالت‌های سیم کوانتومی یک بعدی $GaAs$ با ابعاد بسیار کوچک، احاطه شده با سد پتانسیل بی نهایت.
۳۰	شکل ۲-۱۱- نقطه‌ی کوانتومی مکعبی شکل با سد پتانسیل بی نهایت و طول اضلاع $L_x$ ، $L_y$ و $L_z$ .
۳۱	شکل ۲-۱۲- چگالی حالت‌های یک نقطه‌ی کوانتومی با سد پتانسیل بی نهایت بلند و طول ابعاد $L_x = L_y = L_z$ .
۳۵	شکل ۳-۱- طرح نمادین یک نقطه‌ی کوانتومی بیضی‌گون با پتانسیل محدود و سطح مقطع دایره‌ای در صفحه‌ی $X-Y$ .
۴۳	شکل ۳-۲- ترازهای انرژی ناخالصی هیدروژنی در نقطه کوانتومی کروی.

- شکل ۳-۳- ترازهای انرژی ناخالصی هیدروژنی در نقطه‌ی کوانتومی بیضی‌گون ( $\beta = 0/25$ ). ۴۴
- شکل ۴-۳- انرژی بستگی تراز ۱S مربوط به ناخالصی هیدروژنی بر حسب شعاع نقطه، و مقادیرهای مختلف ثابت بیضی‌گون. ۴۵
- شکل ۵-۳- انرژی بستگی تراز 2S مربوط به ناخالصی هیدروژنی بر حسب شعاع نقطه، و مقادیرهای مختلف ثابت بیضی‌گون. ۴۶
- شکل ۶-۳- انرژی بستگی تراز 2P<sub>0</sub> مربوط به ناخالصی هیدروژنی بر حسب شعاع نقطه، و مقادیرهای مختلف ثابت بیضی‌گون. ۴۷
- شکل ۱-۴- نمودارهای فاینمن برای فرآیندهای غیر خطی مرتبه‌ی دوم (الف) تولید جمع بسامدها، (ب) تولید تفاضل بسامدها. ۵۹
- شکل ۲-۴- نمودارهای فاینمن برای فرایندهای غیر خطی مرتبه‌ی سوم (الف) ترکیب چهار موج، (ب) تولید هماهنگ مرتبه‌ی سه، (پ) اثر نوری کر، و (ت) اثر رامان واداشته. ۶۳
- شکل ۳-۴- تغییرات ضریب جذب خطی، غیر خطی مرتبه‌ی سوم و کل نقطه‌ی کوانتومی به صورت تابعی از انرژی فوتون فرودی به ازای  $\beta = 0/25$ ,  $I = 1/0 \cdot \frac{MW}{cm^2}$ ,  $x = 0/2$  و  $\tau_0 = 0/6 a_B^*$ . ۷۱
- شکل ۴-۴- تغییرات ضریب جذب کل نقطه‌ی کوانتومی به صورت تابعی از انرژی فوتون فرودی و ثابت بیضی‌گون به ازای  $\beta = 0/25$ ,  $I = 1/0 \cdot \frac{MW}{cm^2}$ ,  $x = 0/2$  و  $\tau_0 = 0/6 a_B^*$ . ۷۲
- شکل ۵-۴- تغییرات ضریب جذب کل نقطه‌ی کوانتومی به صورت تابعی از انرژی فوتون فرودی و شعاع نقطه‌ی کوانتومی به ازای  $\beta = 0/25$ ,  $I = 1/0 \cdot \frac{MW}{cm^2}$  و  $x = 0/2$ . ۷۳
- شکل ۶-۴- تغییرات ضریب جذب کل نقطه‌ی کوانتومی به صورت تابعی از انرژی فوتون فرودی و غلظت آلومینیوم به ازای  $\beta = 0/25$ ,  $I = 1/0 \cdot \frac{MW}{cm^2}$  و  $\tau_0 = 0/6 a_B^*$ . ۷۴
- شکل ۷-۴- تغییرات ضریب جذب کل نقطه‌ی کوانتومی به صورت تابعی از انرژی فوتون و شدت نور فرودی به ازای  $\beta = 0/25$ ,  $x = 0/2$  و  $\tau_0 = 0/6 a_B^*$ . ۷۵
- شکل ۸-۴- تغییرات ضرایب شکست خطی، غیر خطی مرتبه‌ی سوم و کل نقطه‌ی کوانتومی با ثابت بیضی‌گون  $\beta = 0/25$ ، به صورت تابعی از انرژی فوتون فرودی به ازای  $I = 1/0 \cdot \frac{MW}{cm^2}$ ،  $x = 0/2$  و  $\tau_0 = 0/6 a_B^*$ . ۷۶
- شکل ۹-۴- تغییرات ضریب شکست کل به صورت تابعی از انرژی فوتون فرودی و ثابت بیضی‌گون به ازای  $I = 1/0 \cdot \frac{MW}{cm^2}$ ،  $x = 0/2$  و  $\tau_0 = 0/6 a_B^*$ . ۷۷
- شکل ۱۰-۴- تغییرات ضریب شکست کل به صورت تابعی از انرژی فوتون فرودی و شعاع نقطه، به ازای  $I = 1/0 \cdot \frac{MW}{cm^2}$ ،  $\beta = 0/25$  و  $x = 0/2$ . ۷۸
- شکل ۱۱-۴- تغییرات ضریب شکست کل به صورت تابعی از انرژی فوتون فرودی و غلظت مولی آلومینیوم، به ازای  $I = 1/0 \cdot \frac{MW}{cm^2}$ ،  $\beta = 0/25$  و  $\tau_0 = 0/6 a_B^*$ . ۷۹
- شکل ۱۲-۴- تغییرات ضریب شکست کل به صورت تابعی از انرژی و شدت فوتون فرودی به ازای  $\beta = 0/25$ ،  $x = 0/2$  و  $\tau_0 = 0/6 a_B^*$ . ۸۰

## فصل اول

### مقدمه

## ۱- مقدمه

نیم‌رساناها گروهی از مواد هستند که رسانندگی الکتریکی آنها بین فلزات و عایق‌ها قرار دارد. یکی از ویژگی مهم نیم‌رساناها این است که خواص الکتریکی آنها با تغییر اندازه، دما، برانگیختگی نوری و میزان ناخالصی به نحو قابل ملاحظه‌ای تغییر می‌کند. به همین دلیل، مواد نیم‌رسانا به عنوان یک انتخاب مناسب برای تحقیق در زمینه‌ی قطعات الکترونیکی و اپتو الکترونیکی<sup>۱</sup> به شمار می‌روند.

مطالعات اولیه‌ی صورت گرفته در زمینه‌ی خصوصیات فیزیکی نیم‌رساناها ساختارهای تکی و یا ساختارهای همسان<sup>۲</sup>، شامل موادی از قبیل سیلیسیم، ژرمانیم، آرسناید و غیره را در بر می‌گرفت. اما به تدریج مشخص شد که نیم‌رساناهای مرکب که از ترکیب عناصر ستونهای مختلف جدول تناوبی بدست می‌آیند (شامل ترکیبات III-V و II-VI)، خصوصیات بسیار جالبی خواهند داشت. این ترکیبات را ساختارهای ناهمسان<sup>۳</sup> می‌نامند. این ساختارهای اصولاً از دو نوع نیم‌رسانای متفاوت با ثابت شبکه‌ی تقریباً یکسان و گاف انرژی<sup>۴</sup> متفاوت تشکیل می‌شوند. یکی از خصوصیات مهم این سیستم‌ها، محدود کردن حامل‌های بار<sup>۵</sup> در ناحیه‌ی مشخصی از فضا و در نتیجه کنترل دینامیکی آنها است [۱-۴].

پیشنهاد استفاده از ساختارهای ناهمسان، اولین بار در سال ۱۹۵۱ توسط شاکلی<sup>۶</sup> ارائه شد، و پس از آن در موارد گوناگونی مورد استفاده قرار گرفت. به طوری که، بسیاری از وسایل کاربردی، مانند لیزرهای نیم‌رسانا<sup>۷</sup>، دیودهای نور گسیل<sup>۸</sup>، آشکار سازهای نوری<sup>۹</sup> و غیره، به علت ویژگی‌های منحصر به فرد این ساختارهای ناهمسان، بهبود یافت [۵-۱۰].

---

<sup>۱</sup> Optoelectronic Devices

<sup>۲</sup> Homostructures

<sup>۳</sup> Heterostructures

<sup>۴</sup> Energy Band Gap

<sup>۵</sup> Charge Carrier

<sup>۶</sup> W. Shockley

<sup>۷</sup> Semiconductor Lasers

<sup>۸</sup> Light-Emitting Diodes

<sup>۹</sup> Photodetectors

علاوه بر این، پیشرفت‌های صورت گرفته در زمینه‌ی رشد بلورهای نیم‌رسانا، از قبیل برآرایی فاز مایع<sup>۱۰</sup>، برآرایی باریکه‌ی مولکولی<sup>۱۱</sup> و نشست بخار شیمیایی فلز آلی<sup>۱۲</sup>، این امکان را فراهم ساخته تا بتوان ابعاد نیم‌رساناها را با دقت واحدهای اتمی کنترل نموده، از طریق تولید اتصالات و یا ساختارهای ناهمسان، نیم‌رساناهای بسیار نازک با کیفیت بالا تهیه کرد [۱۱-۱۲]. این ساختارهای فوق ریز، سیستم‌های کوانتومی نامیده می‌شوند. از آنجا که اغلب خواص فیزیکی یک سیستم به ابعاد آن سیستم وابسته است، انتظار می‌رود که خواص فیزیکی این ساختارهای فوق ریز نسبت به ساختارهای کپه‌ای<sup>۱۳</sup> کاملاً متفاوت باشد. بنابراین، در سال‌های اخیر مطالعات بسیاری در زمینه‌ی بررسی اثرات پیکر<sup>۱۴</sup> بر خواص فیزیکی (الکترونی و نوری) این ساختارها به هر دو صورت عملی و نظری صورت گرفته است. بررسی این ساختارهای کوانتومی نه تنها به خاطر خواص الکترونی و نوری جالب آنها، بلکه به علت کاربردشان در قطعات الکترونیکی و ابزارهای نوری توجه بسیاری را به خود جلب کرده است [۹-۶].

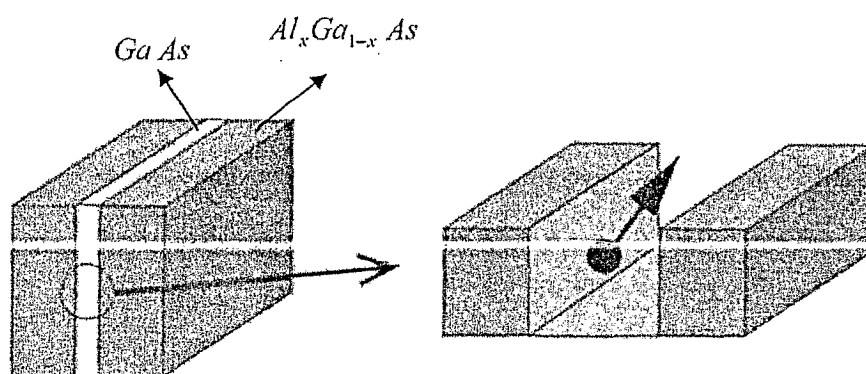
سیستم‌های کوانتومی بر حسب محدودیت فضایی اعمال شده بر حرکت حامل‌های بار آنها، به سه دسته‌ی اصلی چاه کوانتومی<sup>۱۵</sup>، سیم کوانتومی<sup>۱۶</sup> و نقطه‌ی کوانتومی<sup>۱۷</sup> دسته بندی می‌شود. بر خلاف حالت کپه‌ای که حامل‌های بار می‌توانند به طور آزادانه در تمام راستاهای فضایی حرکت کنند، چاه‌ها، سیم‌ها و نقطه‌های کوانتومی به ترتیب دارای محدودیت فضایی یک، دو و سه بعدی می‌باشند. در ادامه این سیستم‌های کوانتومی را به طور مشروح مورد مطالعه قرار می‌دهیم.

## ۱-۱- چاه کوانتومی

چاه کوانتومی یک لایه نیم‌رسانای بسیار نازک با گاف انرژی مشخص بوده که بین دو نیم‌رسانای دیگر با گاف انرژی بزرگتر قرار گرفته، به طوری که در آن حرکت حامل‌های بار در یک راستا محدود و در دو راستای دیگر هیچ محدودیتی بر حرکت حامل‌ها وارد نمی‌شود. این سیستم‌ها را ساختارهای شبه دو بعدی نیز می‌نامند. در چاه کوانتومی ضخامت نیم‌رسانای با گاف کوچکتر

- 
- ۱۰ Liquid Phase Epitaxi
  - ۱۱ Molecular Beam Epitaxy
  - ۱۲ Metalorganic Chemical Vapour Deposition
  - ۱۳ Bulk Structures
  - ۱۴ Size Effects
  - ۱۵ Quantum Well
  - ۱۶ Quantum Wire
  - ۱۷ Quantum Dot

باید از مرتبه‌ی طول موج دوبروی<sup>۱۸</sup> حامل‌ها بوده و یا از پویش آزاد میانگین<sup>۱۹</sup> آنها بسیار کوچکتر باشد تا اثرات پیکر کوانتومی<sup>۲۰</sup> در این ساختار قابل ملاحظه شود.



شکل ۱-۱- چاه کوانتومی  $Al_xGa_{1-x}As/GaAs$  و نمایش حرکت الکترون در صفحه‌ی چاه.

از این روی، ضخامت چاه کوانتومی معمولاً از کسری از یک نانومتر تا ۱۰ الی ۲۰ نانومتر می‌باشد. از این سیستم کوانتومی در ساخت لیزرهای نیم‌رسانا به طور گسترده استفاده می‌شود [۷]. شکل (۱-۱) ساختار چاه کوانتومی  $Al_xGa_{1-x}As/GaAs$  و همچنین حرکت الکترون در صفحه‌ی چاه را به طور نمادین نمایش می‌دهد.

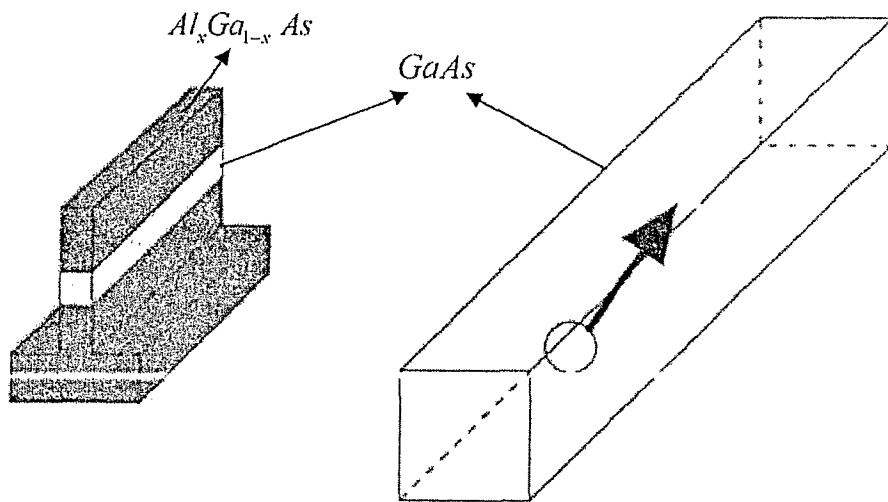
## ۲-۱- سیم کوانتومی

سیم‌های کوانتومی ساختارهای شبه یک بعدی بوده به طوری که در این ساختارها حرکت حامل‌ها، در دو راستا محدود شده و تنها در راستای محور سیم به طور آزادانه صورت می‌گیرد. تاکنون سیم‌های کوانتومی با سطح مقطع‌های مختلف ساخته شده و با موفقیت، در لیزرهای سیم کوانتومی به کار رفته‌اند [۳]. محدودیت دو بعدی اعمال شده در سیم‌های کوانتومی سبب کوانتیدگی بیشتر ترازهای انرژی و در نتیجه تغییر توزیع چگالی حالت‌های آن نسبت به چاه‌های کوانتومی می‌شود.

<sup>۱۸</sup> Broglie Wavelength

<sup>۱۹</sup> Mean Free Path

<sup>۲۰</sup> Quantum Size Effects



شکل ۱-۲- سیم کوانتومی  $Al_xGa_{1-x}As/GaAs$  با سطح مقطع مربعی.

در شکل (۱-۲) طرح یک سیم کوانتومی با سطح مقطع مربعی ارائه شده است. همانطوری که ملاحظه می‌شود الکترون در دو راستای فضایی محدود بوده و تنها در راستای محور سیم، بر حرکت آن هیچ محدودیتی وارد نمی‌شود.

### ۱-۳- نقطه‌ی کوانتومی

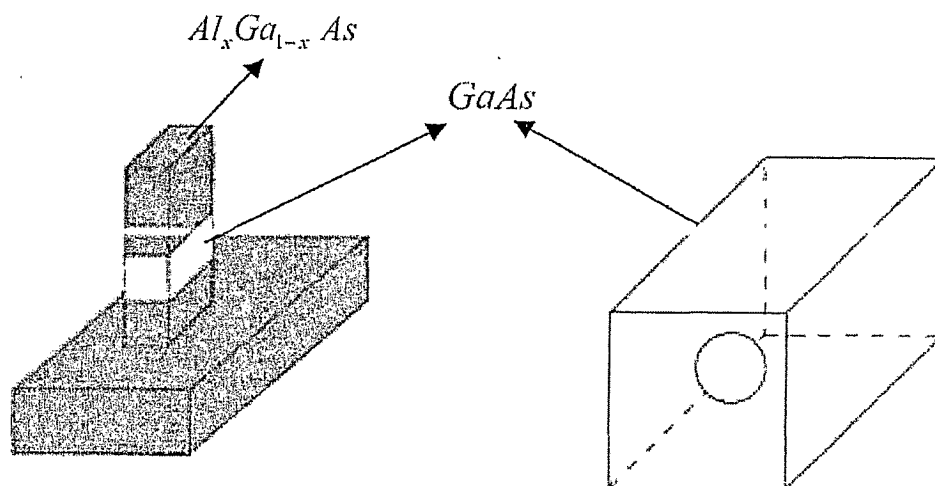
نقطه‌های کوانتومی نیم‌رسانا، یا ساختارهای شبه صفر بعدی، یکی دیگر از ساختارهای بسیار ریز است که به علت کاربردهای فراوان به عنوان اجزای اصلی لیزرهای نیم‌رسانا، حسابرهای کوانتومی<sup>۲۱</sup>، ترانزیستورهای تک الکترونی<sup>۲۲</sup> و غیره در سال‌های اخیر مورد توجه بسیاری از پژوهشگران قرار گرفته است. این سیستم‌های کوانتومی را می‌توان به روش‌های مختلف تولید نمود. حکاکی نوری<sup>۲۳</sup> و حکاکی با بیم الکترونی<sup>۲۴</sup> از روش‌های متداول تولید این سیستم‌های کوانتومی است.

شکل (۱-۳) یک نقطه‌ی کوانتومی مکعبی شکل را نشان می‌دهد. در این نوع از سیستم‌های کوانتومی، الکترون‌ها و حفره‌ها در تمام راستاهای فضایی محدود می‌باشند. این محدودیت کوانتومی سبب می‌شود که ترازهای انرژی نقطه‌ی کوانتومی بر خلاف حالت کپه‌ای با ترازهای

۲۱- Quantum Computing  
 ۲۲- Single-Electron Transistors  
 ۲۳- Optical Lithography  
 ۲۴- Electron Beam Lithography



انرژی کاملاً پیوسته، و سیم‌ها و چاه‌های کوانتومی با ترازهای انرژی نیمه گسسته، به طور کامل گسسته شده و چگالی حالت‌های آن کاملاً جایگزیده شود. این ویژگی منحصر به فرد منجر به پیدایش خصوصیات الکترونی و نوری بسیار جالبی در نقطه‌های کوانتومی می‌شود.



شکل ۱-۳- نقطه کوانتومی از جنس  $GaAs$  که به وسیله دو لایه از جنس  $Al_xGa_{1-x}As$  محصور شده است.

از نظر تاریخی، کشف نقطه‌های کوانتومی به سال ۱۹۳۲ باز می‌شود. در این سال روکسبای<sup>۲۵</sup> رنگ قرمز و یا زرد مشاهده شده از برخی شیشه‌های سیلیکانی را به ساختارهای بسیار ریز  $CdSe$  و یا  $CdS$  واقع در آنها نسبت داد [۱۳]. پس از آن، در سال ۱۹۸۵ مشاهده شد که تغییرات در رنگ، به ترازهای انرژی ناشی از محدودیت کوانتومی نقطه‌های  $CdSe$  یا  $CdS$  وابسته می‌باشد. از آن زمان به بعد، با پیشرفت تکنولوژی برآرایی باریکه‌ی مولکولی، به عنوان یک تکنولوژی برتر در زمینه‌ی رشد نقطه‌های کوانتومی در مواد مختلف، پژوهش‌های آزمایشگاهی بر نقطه‌های کوانتومی به طور چشمگیری افزایش یافت [۱۴-۲۶].

در کنار پیشرفت‌ها و پژوهش‌های آزمایشگاهی، ایساکی<sup>۲۶</sup> و تسو<sup>۲۷</sup> در سال ۱۹۷۰ مفاهیم نظری نقطه‌های کوانتومی را برای اولین بار ارائه نمودند [۲۷]. پس از آن تحقیقات بسیاری در زمینه‌ی بررسی اثرات پیکر کوانتومی بر خواص الکترونی و اپتیکی این ساختارها انجام شد [۲۷-۶۱].

مطالعه‌ی ترازهای انرژی الکترون آزاد و ناخالصی هیدروژن گونه در سیستم‌های کوانتومی گوناگون با شکل‌های مختلف و در دو حالت پتانسیل محدود و نامحدود، در دو دهه‌ی گذشته به طور گسترده بررسی شده است. نتایج بدست آمده نشان می‌دهد که ترازهای انرژی این

۲۵- H.P. Rocksby

۲۶- Esaki

۲۷- Tsu

سیستم‌های کوانتومی به میزان قابل ملاحظه‌ای به اندازه سیستم‌ها بستگی داشته، به گونه‌ای که کاهش اندازه سبب افزایش شکاف بین ترازهای انرژی و برعکس می‌شود [۸۱-۶۲].

علاوه بر این، مشاهده شده که کاهش اندازه، افزایش قابل توجه خواص غیر خطی این سیستم‌ها را در پی دارد. بنابراین، مطالعه‌ی خواص غیر خطی سیستم‌های کوانتومی نیم‌رسانا شامل اثرات اندازه و شکل نقطه، ارتفاع پتانسیل دیواره‌ی سیستم و همچنین اثر میدان‌های الکترومغناطیسی خارجی بر تغییرات ضریب جذب<sup>۲۸</sup> و ضریب شکست<sup>۲۹</sup> نوری، خلق هماهنگ‌های مرتبه‌ی دوم<sup>۳۰</sup> و مرتبه‌ی سوم<sup>۳۱</sup> مربوط به گذار بین نوارها<sup>۳۲</sup> و بین زیر نوارها<sup>۳۳</sup>، توجه بسیاری از پژوهشگران را در سالهای اخیر جلب کرده است [۱۰۱-۸۲، ۲۷].

برای مطالعه‌ی خصوصیات فیزیکی نقطه‌های کوانتومی باید معادله‌ی شرودینگر را با شرایط مرزی مناسب در این سیستم‌ها حل نمود. برای حل معادله‌ی شرودینگر در این ساختارها به طور معمول از تقریب، جرم مؤثر<sup>۳۴</sup> و تقریب سهموی تک باند<sup>۳۵</sup> برای نوار رسانش و ظرفیت، استفاده می‌شود. علاوه بر این، اگر ارتفاع پتانسیل دیواره‌ی این سیستم‌ها بی نهایت فرض شود، به آسانی می‌توان محاسبات را انجام داد و خصوصیات فیزیکی را به دست آورد. از طرفی، چون ارتفاع پتانسیل دیواره‌ی این ساختارها به طور طبیعی محدود است، انتظار می‌رود خصوصیات فیزیکی نسبت به حالت قبل متفاوت باشد. در چنین وضعیتی، معادله‌ی شرودینگر فقط در سیستم‌های خاصی مانند یک نقطه‌ی کوانتومی کروی<sup>۳۶</sup>، جواب تحلیلی داشته و در بقیه موارد باید با روشهای عددی و یا تقریبی مسئله را حل نمود.

بنابراین، در بیشتر پژوهش‌های نظری، نقطه را کروی در نظر گرفته و خواص فیزیکی را مورد مطالعه قرار می‌دهند [۶۸-۶۶]. از آنجا که در حین فرآیند رشد، تغییر شکل نقطه‌ی کوانتومی اجتناب ناپذیر است، در نظر گرفتن شکل‌هایی با تقارن کمتر برای نقطه‌ی کوانتومی مسأله را به واقعیت نزدیکتر می‌کند. بنابراین، انتظار می‌رود که با انتخاب یک نقطه‌ی کوانتومی بیضی‌گون<sup>۳۷</sup> نتایج قابل قبول تری نسبت به نقطه‌های کروی به دست آید [۳۶-۲۸].

از آنجا که حل تحلیلی و دقیق معادله‌ی شرودینگر برای الکترون محبوس در نقطه‌های کوانتومی بیضی‌گون با پتانسیل محدود امکان پذیر نیست، در تمامی کارهای ارائه شده پتانسیل دیواره را بی نهایت فرض کرده و ویژگی‌های فیزیکی را مورد بررسی قرار داده اند [۳۵-۲۸]. از این روی،

۲۸- Optical Absorption Coefficient

۲۹- Refractive Index

۳۰- Second-Harmonic Generation

۳۱- Third-Harmonic Generation

۳۲- Interband Transitions

۳۳- Intersubband Transitions

۳۴-Effective Mass Approximation

۳۵-Parabolic (One-Band) Approximation

۳۶- Spherical Quantum Dot

۳۷- Ellipsoidal Quantum Dot

با در نظر گرفتن یک نقطه‌ی کوانتومی بیضی‌گون با خروج از مرکز بسیار کوچک و ارتفاع پتانسیل محدود، و حل تقریبی معادله‌ی شرودینگر، خواص الکترونی و نوری آن را در این رساله مورد بررسی قرار می‌دهیم.

این پایان نامه شامل موارد زیر می‌باشد. در فصل دوم پژوهش حاضر، به بررسی اثر پیکر کوانتومی بر ترازهای انرژی و چگالی حالت‌های الکترونی مواد نیم‌رسانا پرداخته می‌شود. قسمت اول این بخش تحت عنوان ساختار بلوری نیم‌رساناها، شامل ساختار الماسی و کانی سولفید روی، تقریب جرم مؤثر و نظریه‌ی نواری جامدات است. پس از آن ترازهای انرژی و چگالی حالت‌های نیم‌رسانای کپه‌ای محاسبه شده و چگونگی تغییرات چگالی با انرژی محاسبه و ترسیم شده است. در قسمت آخر همراه با معرفی انواع اتصالات ناهمسان<sup>۳۸</sup> و ساختارهای ناهمسان، بر آمدگی‌ها و فرو رفتگی‌های نوار رسانش و ظرفیت در محل اتصال ناهمسان  $Al_xGa_{1-x}As/GaAs$  محاسبه می‌شود. سپس سه نوع اصلی سیستم‌های کوانتومی نیم‌رسانا (چاه‌ها، سیم‌ها و نقطه‌های کوانتومی) معرفی کرده، ترازهای انرژی و چگالی حالت‌های آنها و همچنین چگونگی تغییرات چگالی حالت‌های آنها بر حسب انرژی را بررسی می‌کنیم.

در فصل سوم ترازهای انرژی و انرژی بستگی ناخالصی هیدروژنی در نقطه‌ی کوانتومی بیضی‌گون با پتانسیل محدود محاسبه شده است. یک نقطه‌ی کوانتومی بیضی‌گون با سطح مقطع دایره‌ای و خروج از مرکز بسیار کوچک در نظر گرفته شده و با تغییر متغیر مناسب، نقطه‌ی بیضی‌گون را به یک نقطه‌ی کروی هم حجم با آن تبدیل نموده ایم. سپس با نوشتن هامیلتونی در مختصات جدید و استفاده از روش اختلال غیر تبهگن<sup>۳۹</sup> معادله‌ی شرودینگر را در تقریب جرم مؤثر حل کرده، ترازهای انرژی الکترون آزاد و ناخالصی هیدروژنی، محاسبه می‌شود. در آخر نحوه‌ی تغییرات ویژه مقادیر انرژی و همچنین انرژی بستگی ناخالصی هیدروژنی به صورت تابعی از شعاع نقطه محاسبه و ترسیم می‌شود.

فصل چهارم تحت عنوان خواص نوری نقطه‌های کوانتومی ارائه شده است. در این فصل، ابتدا با بهره‌گیری از قوانین حاکم بر مکانیک کوانتومی، عملگر چگالی<sup>۴۰</sup> تعریف شده، تحول زمانی عناصر ماتریسی آن در پایه‌های هامیلتونی ارائه شده در فصل سوم به دست می‌آید. از آنجا که حل دقیق معادله‌ی تحول زمانی ماتریس چگالی برای بیشتر سیستم‌های فیزیکی امکان پذیر نمی‌باشد، با استفاده از روش اختلال، تصحیح مرتبه‌های اول، دوم و سوم عناصر ماتریس چگالی تعیین و به کمک آنها پذیرفتاری‌های مربوطه را محاسبه می‌کنیم. در ادامه با فرض این که نوار رسانش نقطه‌ی کوانتومی دارای دو زیر نوار فعال است، پذیرفتاری الکتریکی خطی و غیر خطی

۳۸- Heterojunctions

۳۹- Non-Degenerate Perturbation Theory

۴۰- Density Operator

و در نتیجه تغییرات ضریب جذب و شکست خطی و غیر خطی وابسته به گذار بین این دو زیر نوار را به دست می آوریم. در نهایت، تغییرات ضرایب جذب و شکست را به صورت تابعی از انرژی فوتون فرودی ترسیم نموده، اثراتی از قبیل، اندازه‌ی شعاع نقطه، میزان غلظت آلومینیم، شدت نور فرودی و همچنین بزرگی خروج از مرکز بیضی را بر ضرایب مورد نظر بررسی می کنیم. در فصل پنجم، نتایج ناشی از مطالعات و بررسی‌های صورت گرفته بر نقطه‌ی کوانتومی در این رساله را دسته بندی نموده و همچنین پیشنهادهایی برای ادامه‌ی کار در این زمینه ارائه کرده ایم.